

嗜盐小盒菌属新种的鉴定[•]

周培瑾 徐 敦 肖昌松 马允卿 刘宏迪
(中国科学院微生物研究所 北京 100080)

摘要 从新疆盐湖分离纯化到 3 株多形态嗜盐菌(编号为 A₅, B₂ 和 B-B₂)。以《伯杰氏系统细菌学鉴定手册》第 3 卷(1989 年)为主要依据,根据极性脂分析,这 3 株菌可归入嗜盐小盒菌属(*Haloarcula*)。又根据细胞形态特征和生理生化特性,这 3 株菌不同于该属中现在正式承认的两个种而成为一独立的类群,建议为嗜盐小盒菌属中的一个新种,命名为艾丁嗜盐小盒菌(*Haloarcula aidinensis* sp. nov.)。以 A₅ 菌株作为模式株。

关键词 嗜盐菌, 嗜盐小盒菌属, 极性脂

在 1984 年出版的《伯杰氏系统细菌学鉴定手册》中^[1],极端嗜盐菌仅为一科二属:嗜盐杆菌属(*Halobacterium*)和嗜盐球菌属(*Halococcus*)。其分类主要依据它们的生理生化指标。这种原始的传统分类方法与嗜盐菌研究的发展不相适应。自从 Tindall^[2]发现了嗜盐嗜碱菌的类型,人们才开始重新对嗜盐菌的分类有一新的估价,即嗜盐菌的分类应建立在化学分类的基础上,而不是以生化反应为主的传统观念^[3]。

极性脂的组成在这方面已证明是非常重要的。Torreblanca^[4]就是根据非碱性嗜盐杆菌的极性脂组成的差别,在嗜盐菌科的嗜盐杆菌中分成了 3 个新属,即嗜盐杆菌属、嗜盐小盒菌属(*Haloarcula*)和嗜盐富饶菌属(*Haloferax*)。

本文就是在此基础上,鉴定出嗜盐小盒菌属的一个新成员。

1 材料和方法

1.1 菌株来源

A₅ 菌株系从新疆吐鲁番艾丁湖分离得到;B₂ 和 B-B₂ 菌株系从新疆鄯善县乌宗布那克盐湖分离得到;*Halobacterium cutirubrum* NRC 34001(6[#])来自加拿大;*Haloarcula vallismortis* ATCC 29715(EM201)、*Haloarcula hispanica* ATCC 33960(EM202)和*Haloarcula marismortui* ATCC 43049(EM203)来自美国。

1.2 培养条件和分析方法

生长培养基为 CM 培养基^[5],培养温度 37℃。鉴定主要以《伯杰氏系统细菌学鉴定手册》第 3 卷(1989 年)^[6]为基础。

1.2.1 个体形态:用革兰氏染色、相差显微镜观察活细胞、电镜观察、鞭毛染色等方法确定个体形态。

• 国家自然科学基金重点课题资助项目。

本文于 1992 年 5 月 26 日收到。

- 1.2.2** 菌落形态: 牛奶盐琼脂平板划线^[7], 37℃光照培养。
- 1.2.3** 细胞生长测定: 液体培养一定时间, 取样, 稀释 10 倍, 在 460nm 处测定 OD 值。
- 1.2.4** 细胞色素测定^[8]: 收集细胞, 甲醇-丙酮(1:1)抽提, DU-7 分光光度计扫描测其吸收峰。
- 1.2.5** 甘油二醚测定^[9]: 用薄板层析法以 *E. coli* 和 *Halobacterium cutirubrum* NRC 34001 作对照测定甘油二醚带。
- 1.2.6** 细胞蛋白特性: 用薄层等电聚焦法^[10]测定细胞蛋白的酸碱性。
- 1.2.7** 其他生理生化反应: 参照 Ross 的方法^[11]。
- 1.2.8** DNA G+C mol% 含量的测定^[12]: 用紫外分光光度法测定 T_m 值。
- 1.2.9** PCR 和 DNA 杂交: 按参考文献[13]的方法。

2 结果

2.1 形态特性

2.1.1 个体形态: A₅、B₂ 和 B-B₂ 菌株均为革兰氏阴性菌, 细胞为片状的多形态, 从三角形、方形, 多角形到圆盘形等(以液体培养的幼龄细胞为准)。即使固体培养基上的老龄菌也未观察到杆状菌。这三株菌均未发现鞭毛。细胞大小约 1—3μm(图 1)。

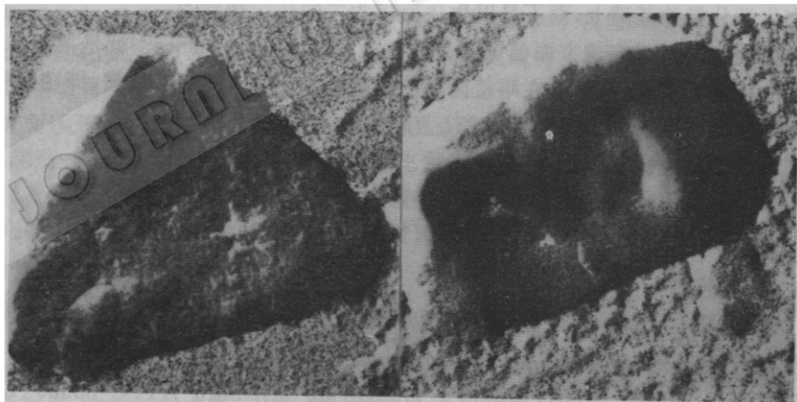


图 1 A₅ 菌株的电子显微镜照片(30000×)

Fig. 1 Electronic micrographs of strain A₅

2.1.2 菌落形态: 菌落表面光滑湿润, 粘稠, 红色, 其直径约为 1mm(培养 7 天, 37℃)。

2.2 生长曲线、嗜盐度以及 Mg²⁺ 和 Na⁺ 对生长的影响

这 3 株菌的生长曲线图形基本相同(图 2)。细胞量达到最高时的生长时间均约为 80 小时, 倍增时间约为 12—13 小时。

3 株菌的嗜盐范围因环境不同有很大差别, 一般为 10—30%, 最适范围在 12.5—

20%。 Mg^{2+} 对这3株菌的嗜盐度有很大影响。即在一定范围内, Mg^{2+} 可以部分取代 Na^+ 。从图3,4中可以看出,当 Mg^{2+} 浓度为2%时,生长 $NaCl$ 浓度范围约为15—30%,最适生长 $NaCl$ 浓度为20%;当 Mg^{2+} 随 Na^+ 浓度下降而等摩尔浓度增补时,最适生长的 $NaCl$ 浓度从20%降至15%(此时 $MgSO_4 \cdot 7H_2O$ 浓度为17%),适合生长的 $NaCl$ 浓度范围也有所扩大。

2.3 生理生化特性

生理生化试验结果见表1。这3株菌的生理生化特性基本相似,但与嗜盐小盒菌属的典型成员有些差别。

表1 嗜盐小盒菌属的生化特性比较

Table 1 Comparisons of biochemical features of *Haloarcula*

特 性 Characteristics	EM201	EM202	EM203	A ₅	B ₂	B-B ₂
细胞形态 Cell shape	多形态杆状 pleomorphic rod		多形态片状 pleomorphic flat			
运动性 Motility	+	+	-	-	-	-
淀粉水解 Starch hydrolysis	+	+	-	+	+	+
明胶液化 Gelatin liquefaction	-	+	-	+	+	+
硝酸盐还原 Nitrate reduction	+	+	+	+	+	+
吲哚产生 Indole production	+	+/-	-	+	+	+
吐温水解 Tween(60,80)hydrolysis	-	+		-	+	+
酪蛋白水解 Casein hydrolysis	-	+		-	-	-
氧化酶,接触酶 Oxidase, catalase	+	+	+	+	+	+
糖利用 Use of carbohydrates:						
葡萄糖 Glucose	+	+	+	+	+	+
果 糖 Fructose	+		+	+	+	+
半乳糖 Galactose	+			+	+	+
山梨糖 Sorbose				+	+	+
甘露糖 Mannose	-		+	+	+	+
阿拉伯糖 Arabinose				+	+	+

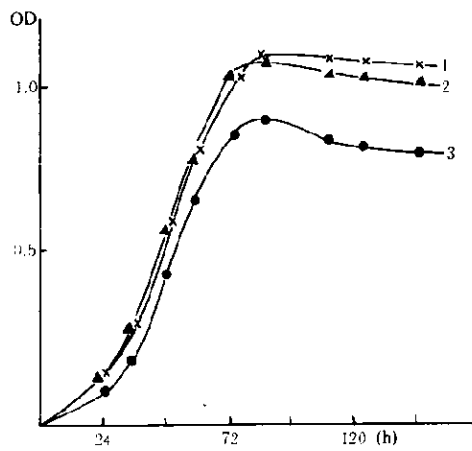


图 2 A_5 、 B_2 和 $B\text{-}B_2$ 菌株的生长曲线

Fig. 2 Growth outlines of strains A_5 , B_2 and $B\text{-}B_2$
1. $B\text{-}B_2$; 2. B_2 ; 3. A_5

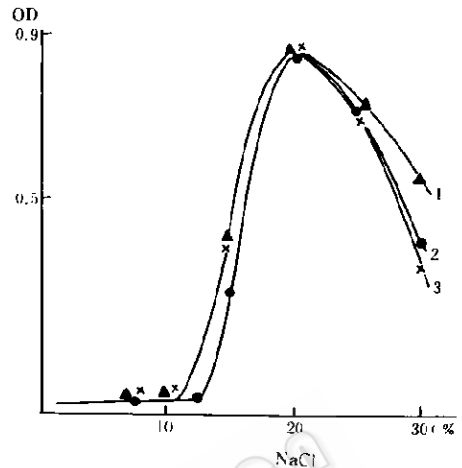


图 3 $NaCl$ 浓度对细胞生长的影响

Fig. 3 Effect of $NaCl$ concentrations on the
cell growth
1. B_2 ; 2. A_5 ; 3. $B\text{-}B_2$

2.4 嗜盐菌一些特征的检测

2.4.1 甘油二醚脂类的测定:薄板层析结果表明,这 3 株菌均含有嗜盐菌古细菌特征性的甘油二醚脂类,而不含有真细菌的酯键脂类。

2.4.2 色素吸收光谱:从图 5 可以看出,这 3 株菌和 *Halobacterium cutirubrum* NRC 34001 的色素吸收光谱基本上一致,均显示出嗜盐菌类胡萝卜素(菌红素)的特征峰。

2.4.3 薄层等电聚丙烯酰胺凝胶测定菌体蛋白的酸碱性:试验结果表明这 3 株菌的细胞蛋白均为酸性蛋白,而不含有碱性蛋白,这也是典型嗜盐古细菌的特性。

2.5 16SrRNA 基因/DNA 杂交

利用一对特定的引物可以合成出 A_5 、 B_2 和 *Haloarcula vallismortis* 的 PCR 16SrRNA 基因产物,分子量约

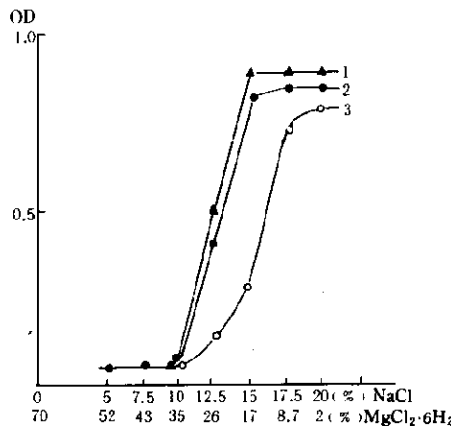
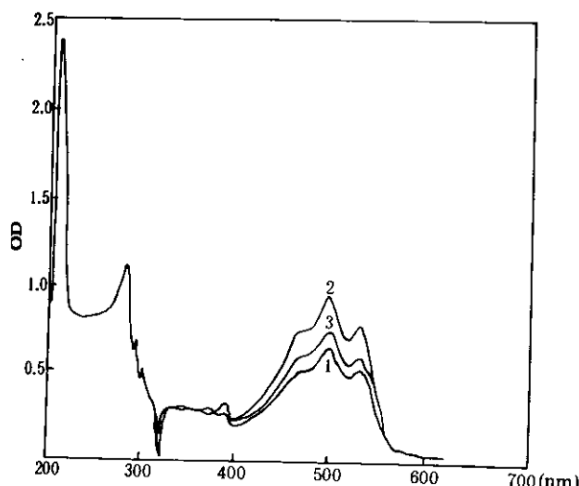


图 4 Mg^{2+} 和 Na^+ 对细胞生长的影响

Fig. 4 Relation of effects of Mg^{2+} and
 Na^+ ions on cell growth
1. B_2 ; 2. A_5 ; 3. $6^\#$

图 5 A_5 、 B_2 和 $B\text{-}B_2$ 菌株的色素吸收光谱Fig. 5 Absorption spectrum of pigments of strains A_5 , B_2 and $B\text{-}B_2$ 1. A_5 ; 2. B_2 ; 3. $B\text{-}B_2$

1.5kb 左右。以 A_5 的 PCR 产物为探针, 可与 A_5 、 B_2 和 *Haloarcula vallismortis* 的总 DNA 杂交, 显示出嗜盐小盒菌属内的亲缘关系, 但不能与其它真细菌 (G^+ 和 G^-)DNA 杂交。

2.6 极性脂的分析

以 *Halobacterium cutirubrum* NRC 34001 作参照菌, 与其他人的试验结果进行对比^[11,13]。所有试验都在硅胶平板上进行。如图 6 所示, 这 3 株菌均含有 PG 和 PGP 作为主要的磷脂和 PGS 作为次要磷脂, 并含有 TGD-2 和 DGD-2, 这些均为嗜盐小盒菌属的典型特征。

2.7 $G+C\text{ mol}\%$ 测定

A_5 、 B_2 和 $B\text{-}B_2$ 菌株 DNA 中 $G+C\text{ mol}\%$ 含量分别为 67.4, 67.9, 64.03。

3 讨论

根据极性脂的分析结果表明, 这 3 株嗜盐菌极性脂的最大特点是含有 TGD-2(三糖基二酰脂化合物)。根据《伯杰氏系统细菌学鉴定手册》第 3 卷(1989 年)^[6]嗜盐菌的分类标准, 这种极性脂的存在是嗜盐菌科中嗜盐小盒菌属(*Haloarcula*)最重要特性之一, 正如嗜盐杆菌属(*Halobacterium*)分类最重要的特性是极性脂组成中含有 S-TGD-1 和 S-TeGD; 嗜盐富饶菌属(*Haloferax*)分类最重要的特性是极性脂组成中含有 S-DGD-1 以及缺少 PGS。因而这三株菌被定为嗜盐小盒菌属中的成员。

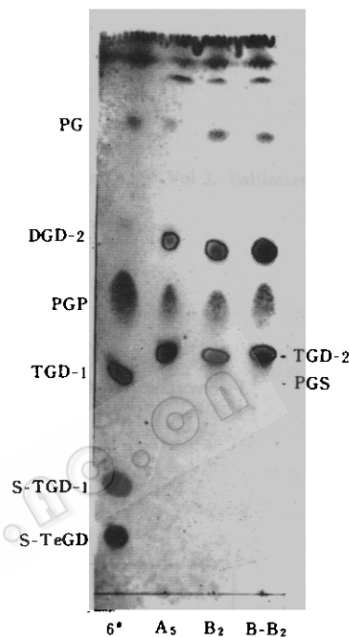


图 6 嗜盐菌极性脂的薄板层析

Fig. 6 Thin-layer chromatography of polar lipids from Halobacteria

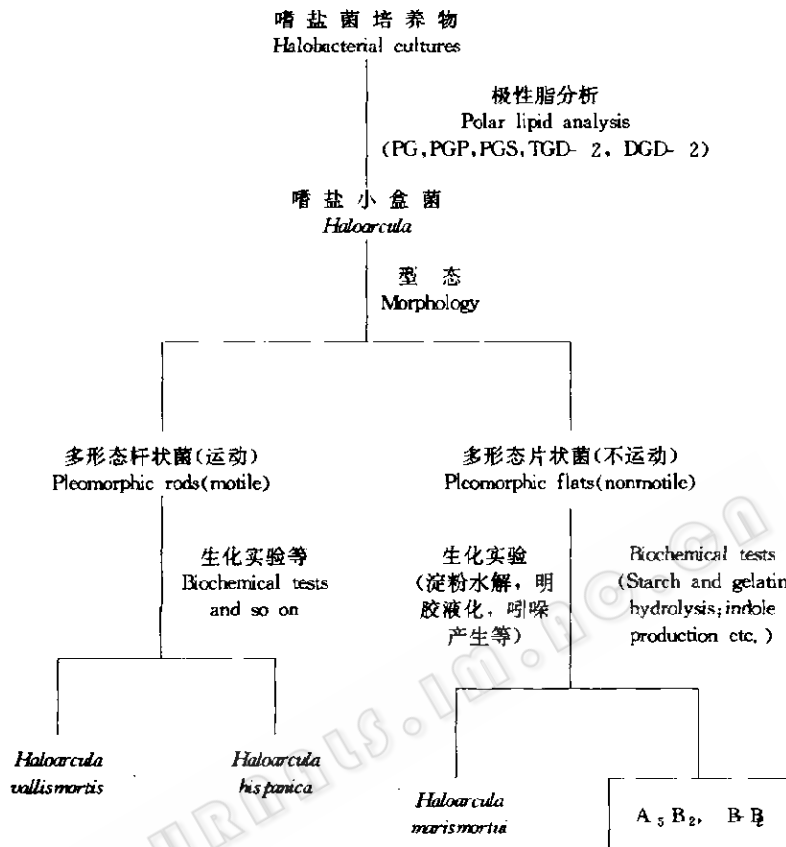


图7 分类简图

Fig. 7 Procedure of classification

从形态上看,这3株菌无论是液体培养还是固体培养,无论是幼龄菌还是老龄菌的细胞均保持极端多形态,与嗜盐小盒菌属中现在正式承认的两个种 *Haloarcula vallismortis* 和 *Haloarcula hispanica* 不同,前者(A₅、B₂ 和 B-B₂)为片状的多形态,而后者为杆状多形态;前者无鞭毛而后者则有鞭毛。与另一株尚未正式定种的菌 *Haloarcula marismortui* 相比,虽在形态上相似,但在某些生化特性如淀粉水解,明胶液化和吲哚产生上有较大差别。

此外,嗜盐度,高G+C mol%值,酸性细胞蛋白以及典型的色素吸收峰,含甘油二醚脂,DNA杂交等均表明,这3株菌是典型的嗜盐古细菌。

分类简单步骤如图7。以上实验结果充分表明,A₅、B₂ 和 B-B₂ 这3株菌属于嗜盐菌科(Halobacteriaceae),嗜盐小盒菌属(*Haloarcula*)的新成员。命名为艾丁嗜盐小盒菌(*Haloarcula aidinensis* sp. nov.)。其中A₅菌株为模式株。

参 考 文 献

- [1] Larsen H, Krieg N R, Holt J G, ed. *Bergey's Manual of Systematic Bacteriology*, Vol 1. Baltimore: The Williams & Wilkins Co, 1984. 264—266.
- [2] Tindall B J et al. *Syst Appl Microbiol*, 1984, 5:41—51.
- [3] Ross H N M, Grant W D. *J Gen Microbiol*, 1985, 131:165—173.
- [4] Torreblanca M et al. *Syst Appl Microbiol*, 1986, 8:89—99.
- [5] Gochnaucy M B, Kushner D G. *Can J Microbiol*, 1969, 15:1157—1165.
- [6] Grant W D, Larsen H, Staley J T et al. *Bergey's Manual of Systematic Bacteriology*, Vol 3. Baltimore: The Williams & Wilkins Co, 1989. 2216—2233.
- [7] Kocur M et al. *Internat J Bacteriol*, 1973, 23:151—156.
- [8] Aharm O. *Internat J Bacteriol*, 1983, 33:381—386.
- [9] Ross H N M et al. *J Gen Microbiol*, 1985, 123:75—80.
- [10] 杨寿均, 张树政主编. 酶学研究技术(上册). 北京: 科学出版社, 1989. 196—200.
- [11] Ross H N M. *The Extrremely Halophilic Archaeabacteria*, Thesis, 1982.
- [12] 周慧玲. 微生物学报, 1978, 18(2):134—139.
- [13] Maniatis T et al. *Molecular Cloning*, Cold Spring Harbor Laboratory, 1982. 324—325.

NEW SPECIES OF HALOARCUA

Zhou Peijin Xu Yi Xiao Changsong Ma Yunqing Liu Hongdi
(Institute of Microbiology, Academia Sinica, Beijing 100080)

Abstract Three strains of pleomorphic halobacteria (A_5 , B_2 and $B-B_2$) were isolated from salt lakes of Xinjiang, China. Based on the Bergey's Manual of Systematic Bacteriology, Volume 3 (1989) and the analytical results of polar lipids, the three strains could be included in the genus *Haloarcula*. But since they differ from normally accepted two species of this genus in cell shape and physiological and biochemical features, it is suggested that the three strains belong to a new species, called *Haloarcula aidinensis* sp. nov.

Key words Halobacteria, *Haloarcula*, Polar lipids